

九州大学工学部 正員 上田 年比古

1. まえがき 特性曲線を利用した出水解析法は非線型の流出現象を近似的にとくもので比較的よい結果がえられる。本報はこの基礎式を無次元化し、従来の斜面流出算定法を改良し、次に河道流出については図式による方法を述べた。なお、わらの方法は樹枝状構造河川ではかなり計算が簡単化されるところをのべ、これによる計算結果を検討した。

2. 流れの基礎式 いま河川流域の最小単位を図-1のようす斜面と一本の河道をもつ流れの場と考える。等価粗度 $N$ 、勾配 $I$ の斜面上の流れの方程式は

$$\text{連続式 } \frac{\partial h}{\partial t} + \frac{\partial Q}{\partial x_s} = T \quad \dots (1) \quad \text{運動式 } \varphi = \frac{I^2}{N} h^{2/3} \quad \dots (2)$$

現象の一般化のため次の無次元化を行う。

$$T_0 = T, \quad x_s/l = s, \quad t/T_0 = \tau, \quad q/q_* = \varphi, \quad h/h_* = \eta \quad \dots (3)$$

ここに $\eta$ は標準有効雨量強度、 $l$ は斜面長。 $q_*$ 、 $h_*$ は $T_0$ によって定常状態に達したときの斜面下流端の流量と水深である。

$$q_* = l T_0 \quad \dots (4) \quad h_* = (q_*/N)^{3/5} = (l T_0/N)^{3/5} \quad \dots (5)$$

また $T_0$ は $T_0$ によって定常状態になつているときの、斜面上流端の雨水の影響が斜面下流端に達する時間であり、

$$T_0 = h_*/T_0 = (l N/I)^{3/5}/g_0^{2/5} \quad \dots (6)$$

(3)～(6)式を(1)、(2)式に代入すれば、

$$\left\{ \begin{array}{l} \text{連続式} \quad \frac{\partial \eta}{\partial \tau} + \frac{\partial Q}{\partial s} = T \\ \text{運動式} \quad \varphi = \eta^{5/3} \end{array} \right. \quad \dots (7)$$

$$\left\{ \begin{array}{l} \text{連続式} \quad \frac{\partial \eta}{\partial \tau} + \frac{\partial Q}{\partial s} = T \\ \text{運動式} \quad \varphi = \eta^{5/3} \end{array} \right. \quad \dots (8)$$

次に図-1の河道の流れの方程式を求めよう。いま斜面下流端流量を $q_e$ 、河道にそつ単位長さ当たりの斜面下流端流量を $q'_e$ とすれば、 $q'_e = q_e \cdot \sin \theta \cdot (l/L)$

$$\text{定常状態については } q'_e = q_* \cdot \sin \theta \cdot (l/L) = l T_0 \sin \theta \cdot (l/L) = F T_0 / 2 L \quad \dots (9)$$

河道は上下流同一断面とし、河道について  $AR^{2/3} = k A P$  ( $k = 1.45$ )  $\dots (11)$ ,  $K = (l/L) k$   $\dots (12)$  とおけば、図-1の河道の流れの方程式は

$$\text{連続式 } \frac{\partial \eta}{\partial \tau} + \frac{\partial Q}{\partial s} = 2 q'_e \quad \dots (13) \quad \text{運動式 } Q = (l/L) AR^{2/3} \quad (\text{マニシグ式}) \quad \dots (14)$$

現象の一般化のため、次の無次元化を行う。

$$x/L = \lambda, \quad t/T_0 = \tau, \quad q'_e/q_* = q_e/q_* = \varphi_e, \quad \theta/\theta_* = \psi, \quad A/A_* = S \quad \dots (15)$$

$Q_*$ を $T_0$ によって定常状態に達したときの流域下流端流量、そのときの流域を $A_*$ とあれば、

$$Q_* = F T_0 = (l/L) A_* R_*^{2/3} = (l/L) A_* K^{1/3} = K A_*^{1/3} \quad \dots (16)$$

また $T_0$ を $T_0$ によって定常状態になつているときの、河道上流端の雨水の影響が下流端に達する時間、とおれば、 $T_0 = A_*/(F L) = L / [(F T_0)^{1/3} K^{1/3}] \quad \dots (17)$

いま  $m = T_0/T_0$   $\dots (18)$  とおけば、(13) (14)式は

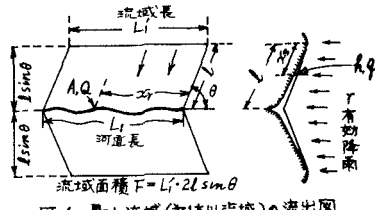
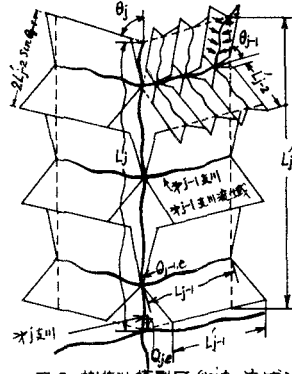


図-1 最小流域(tributary basin)の流出図



$$\text{連続式 } \frac{\partial \psi}{\partial z} + (1/m) \frac{\partial \psi}{\partial x} = g_e/m \quad \dots (19) \quad \text{運動式 } \psi = \psi^* \quad (\text{マンニグ式}) \quad \dots (20)$$

次に図-2 のように 同等級の支川はすべて等しいとした樹枝状構造河川を考えて、その中より支川流域領域における河道流出を考える。横から流入するオフ-1 支川はすべて同じとし、流入の角度  $\theta_j$  をもつてオフ-1 支川に流入するものとする。いま、水を、さらに近似的にオフ-1 支川からの流入量  $Q_{j-1,e}$  がオフ-1 支川の河道全長  $L_j$  にわたって均等に流入する（河道単位長さ当たり片側流量  $q_{j-1,e}'$ ）と仮定すると、河道  $L_j$  の流れは図-1 の最小流域における河道の流れと同じ取扱いとなる。

$$\text{ここに } q_{j-1,e}' = \frac{Q_{j-1,e}}{(2L_{j-2} \cdot \sin \theta_{j-1} / \sin \theta_j)} \cdot \frac{L_j'}{L_j} \quad \dots (21)$$

$$\text{通常状態については } q_{j-1,*}' = \frac{Q_{j-1,*}}{(2L_{j-2} \cdot \sin \theta_{j-1} / \sin \theta_j)} \cdot \frac{L_j'}{L_j} = \frac{F_j \cdot r_0}{2L_j} \quad \dots (22)$$

$$\text{したがって } q_{j-1,e}' / q_{j-1,*}' = Q_{j-1,e} / Q_{j-1,*} = \psi_{j-1,e} \quad \dots (23)$$

この  $q_{j-1,e}'$  を (13) 式の  $q'_e$  に代入し、これ以外は添字  $j$  をつけるのと同様の無次元化を行いうる。この結果 支川流入のある河道の基礎方程式は、支川の均等流入を仮定すれば、(19), (20) 式で  $g_e$  を  $\psi_{j-1,e}$  とし、降雨および斜面要素として以外の各記号に  $j$  の添字を付した式となる。

### 3. 斜面流出算定法 (17), (18) 式より $\tau$ を消去すれば、

$$g_e = \frac{d\psi}{d\tau} \cdot \tau^{2/3} + \frac{d\psi}{d\tau} \cdot \tau^{5/3} \quad \dots (24) \quad \tau = \frac{d\psi}{d\tau} \quad \dots (25)$$

これを特性曲線表示すれば、特性曲線  $d\psi/d\tau = \frac{5}{3} \tau^{2/3}$  上にて  $\dots (24)$   $\tau = \frac{d\psi}{d\tau} \quad \dots (25)$

同様に (17), (18) 式より  $\tau$  を消去すれば 同じく特性曲線 (24) 式上で  $\frac{d\psi}{d\tau} = \tau \quad \dots (26)$

いま  $\tau$  が一定とすれば  $d\tau/d\tau = \tau \quad \dots (27)$ ,  $d\psi/d\tau = \tau \quad \dots (28)$

また  $\tau = 0$  では  $\tau$  が一定となるので、(24) 式より  $d\psi/d\tau = \frac{5}{3} \tau^{2/3} \quad \dots (29)$

図-3 は (8) と (20), (28), (29) 式を用いて 斜面に  $\tau_1, \tau_2, \dots$  の有効降雨がある場合の、時刻  $t_0$  に斜面上流端を出発する特性曲線上の各時刻の  $\tau$ ,  $\psi$  とその時刻までの流下距離  $s$  の算定法を示したもので、図の矢印のように下から上に順次求められる。

次に斜面下流端の流量  $q_L$  とその時刻  $\tau_0$  を求めるには 斜面長  $s_0 = 1$  すなはち  $s_0 = 1/\alpha t_0^{5/3}$  の位置において図-4 のように上から下に求められる。このように各時刻に斜面上流端を出発する特性曲線が斜面下流端に達したときの流量とその時刻を求めてゆけば、河道に流出する流量曲線がえられる。

この方法は従来の対数图表の標準特性曲線を用いる法に比べて計算誤差が少なく、またかなり計算は簡単になる。また重複組込みも簡単に実行できる。

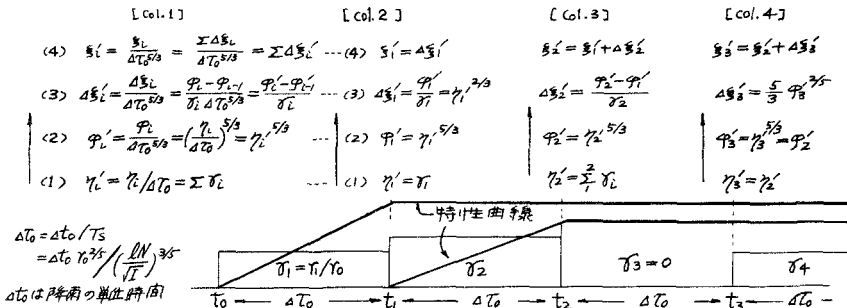


図-3 特性曲線上の諸値の算定

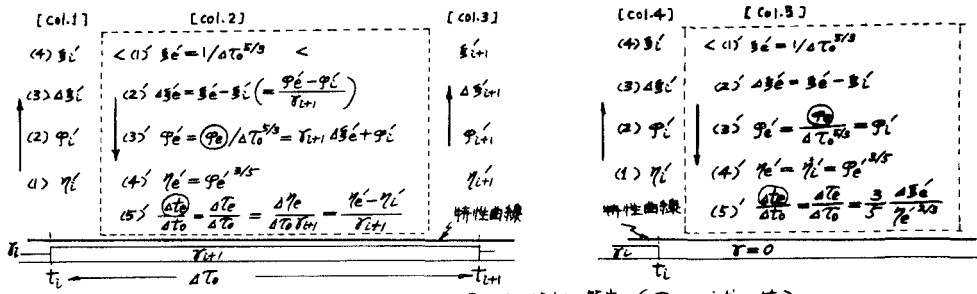


図-4 斜面下流端流出量とその瞬刻の算定(○印は未知の値)

$$4. 河道流出計算法 \quad (19), (20) 式より 4 を消去すれば, \frac{\partial S}{\partial T} + \frac{PS^F}{m} \frac{\partial S}{\partial \lambda} = q_e/m \quad \dots (30)$$

$$\text{すなわち 特性曲線 } d\lambda/dT = PS^F/m \text{ 上で} \dots (31) \quad dS/dT = q_e/m \quad \dots (32)$$

河道流出では普通河道到達時間が短いから、この間は横からの流入量を一定として算定してよいようである。

(1) 河道上流端から流入がない場合　いま河道特性曲線の到達時間内の、横からの流入量  $q_e$  を一定とし、その値をその間の平均値  $\bar{q}_e$  とすれば、河道特性曲線の到達時間  $T_L$  およびその時間端の流量  $q_{eL}$  は (32) 式より  $S = (\bar{q}_e/m) T \dots (33)$ 　これを (31) 式に入れて、 $\lambda = 1/T = T_L$  とおけば、 $1 = \frac{P}{m} \int_0^{T_L} \left(\frac{\bar{q}_e}{m} T\right)^{F-1} dT \dots (34) \quad \therefore T_L = m(\bar{q}_e)^{1/F} \dots (35) \quad \text{また } q_{eL} = \bar{q}_e \dots (36)$

したがって図-5 の各曲線上で、ある時間間隔  $\Delta T$  とその間の平均値  $\bar{q}_e$  と (35) 式を満足する状態を求め、互いの終端点(図-5 の P 点)を結んでゆけば、河道下流端流量曲線  $q_{eL}$  が求まる。図-2 の樹枝状模型では前述のように河道にそな支川の均等流入を仮定すれば、(23) 式より  $q_{eL}$  曲線が最小流域の横からの流入曲線  $q_e$  に相当するから、 $q_{eL}$  曲線に上記と同様の計算を行えば、第2支川の流出量曲線  $q_{e2}$  が求められ、これを繰返してゆけば、簡単に樹枝状模型の各級支川の下流端流量曲線が求めでゆける。

(2) 河道上流端から流入がある場合　河道上流端からの流入流量を  $q_u$ 、その流積を  $S_u$  とし、河道到達時間  $T_L$  内の横からの流入量  $q_e$  を一定として、その平均値  $\bar{q}_e$  をとれば、(20), (31), (32) 式より

$$T_L = \left\{ \left( \frac{\bar{q}_e}{S_u} + 1 \right)^{1/F} - 1 \right\} m S_u / \bar{q}_e \quad \dots (37)$$

この時刻の下流端流量  $q_{eL}$  は、 $q_{eL} = \bar{q}_e + q_u \quad \dots (38)$

すなわち河道流下によって増加する流量  $\Delta q = \bar{q}_e$

次に (37) 式の  $T_L$  の近似式として、 $\bar{q}_e \leq q_u$  の普通の場合では

$$T_L \approx m / \left\{ P \left( q_u + \bar{q}_e / 2 \right)^{1/F} \right\} \quad \dots (39)$$

いま図-6 の流域IIIの到達時間を求めると、III流域上流端の流入量  $Q_u = Q_1 + Q_2$  に対して (39) 式より

$$T_L \approx \left( m / P \right) \left( q_u + \bar{q}_e / 2 \right)^{1/F} = \left( m / P \right) \left[ \left( F_1 Y_1 q_1 + F_2 Y_2 q_2 \right) / F_3 T_0 + \bar{q}_e / 2 \right]^{-1/F} \quad \dots (40)$$

$$\therefore T_L / \Delta T_0 = T_L' = \left( T_L / \Delta T_0 \right) \left\{ \left( F_1 / F_3 \right) q_1 + \left( F_2 / F_3 \right) q_2 + \bar{q}_e / 2 \right\}^{-1/F} \quad \dots (40)$$

いま図-6 の流域I, II, IVの下流端流量曲線およびIII, IVの横からの流入曲線が図-7の場合の、

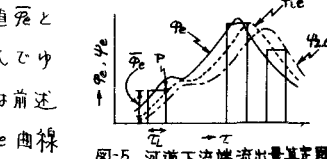


図-5 河道下流端流出量算定図

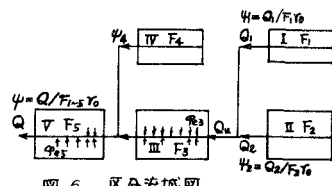


図-6 区分流域図

表-1

時刻	流域	I	II	III	IV	V	$T'$
$T'$	(1)	$\psi_1$	$\psi_2$	$\bar{\psi}_{es}$			$T'_{L3} = -t_f$
	(2)	$\psi_1 \cdot \frac{F_1}{F_3}$	$\psi_2 \cdot \frac{F_2}{F_3}$	$\bar{\psi}_{es}/2$			$\frac{T'_{L3}}{F_{30}/F_3} + \frac{F_1 F_2}{F_3} + \frac{\bar{\psi}_{es}}{2}$
$T' + T'_{L3}$	(3)	$\psi_1$	$\psi_2$	$\psi_3 = \bar{\psi}_{es}$	$\psi_4$	$\bar{\psi}_{es}$	$T'_{L5} = -t_f$
	(4)	$\psi_1 \cdot \frac{F_1}{F_5}$	$\psi_2 \cdot \frac{F_2}{F_5}$	$\psi_3 \cdot \frac{F_3}{F_5}$	$\psi_4 \cdot \frac{F_4}{F_5}$	$\bar{\psi}_{es}/2$	$\frac{T'_{L5}}{F_{30}/F_5} + \frac{F_1 F_2 F_4}{F_5} + \frac{\bar{\psi}_{es}}{2}$

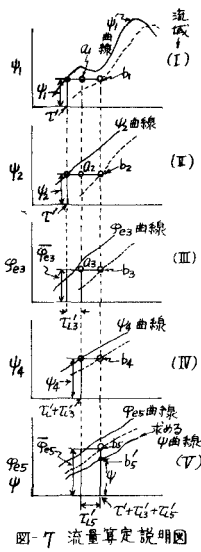


図-7 流量算定説明図

Ⅳ流域の下流端の到達時間の算定を図-7、表-1に示してある。すなわち  $\psi_1, \psi_2, \bar{\psi}_{es}, \psi_4, \bar{\psi}_{es}$  の合計流量が  $T' + T'_{L3} + T'_{L5}$  の時刻にⅤ流域下流端にあらわれると、その合計流量  $Q$  は

$$Q = F_1 \gamma_0 \psi_1 = F_1 \gamma_0 \psi_1 + F_2 \gamma_0 \psi_2 + F_3 \gamma_0 \bar{\psi}_{es} + F_4 \gamma_0 \psi_4 + F_5 \gamma_0 \bar{\psi}_{es} \quad (\because F \text{は流域面積 } \frac{F}{F_3})$$

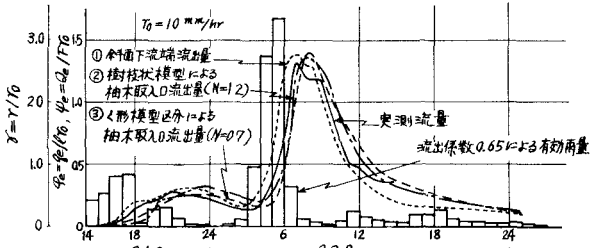
$$\therefore \psi = (F_1/F) \psi_1 + (F_2/F) \psi_2 + (F_3/F) \bar{\psi}_{es} + (F_4/F) \psi_4 + (F_5/F) \bar{\psi}_{es} \quad (41)$$

この  $\psi$  曲線を図-7 の (V) の図に、図のようにかき入れればよいかどうう ( $b'_5$  真を結んでやけはよい)。

5. 流量計算結果 以上の算定法による計算結果例を図-8 に示してある。この図の②曲線は枕立川および津江川をそれぞれ支川まで考えた樹枝状構造とし、それそれの流量を求め、これを合流させて抽木取入口の流量を求めたもので、この流量計算での斜面流出曲線を①曲線にすす。③曲線は枕立川を9箇、津江川を5箇のく形模型流域としてそれそれの流量を求め、これを合流させて抽木取入口の流量を求めたものである。なお本計算はピーク流量が実測値にほぼ合うように斜面粗度  $N$  をきめて行つた。

この計算結果から(1)  $N$  を適当にきめれば②、③いずれでも大差はない、一応実測値にほぼ適合させうる。(2)③の  $N$  が②の  $N$  より小さいのは、③の模型く形流域(図-1に相当する最小流域)の斜面が種々の大きさの斜面をもつから、流量の合計される過程でかなり平均化されピーク流量の低下をきたすからであろう。(3)降雨曲線から①曲線の間で大きく変化し②曲線から③曲線の間の変化は少ない。すなわち特性曲線法では斜面要素が最も大きく影響する。したがって影響の少ない河道の配列を大胆に変えた樹枝状構造に対する算定結果の②曲線でも③曲線と大差はない結果がえられたものと考えられる。

終りに本研究は文部省科学研究費の補助をうけた。ここに記して深謝申上げる。

図-8 大山川抽木取入口流出量算定図(昭和21年6月洪水)  
(流量は直接流出量を示す)